

# Sprzętowa implementacja algorytmu Jacobiego do diagonalizacji macierzy

Piotr Radecki, Aleksander Strzeboński

## I. PODSTAWY TEORETYCZNE

### A. Metoda Jacobiego

Algorytm Jacobiego jest algorytmem iteracyjnym do rozkładu macierzy na wartości własne. Pozwala z macierzy wejściowej symetrycznej i rzeczywistej  $\mathbf{A}$  o rozmiarach  $N \times N$  uzyskać macierz zdiagonalizowaną  $\mathbf{W}$  oraz macierz wektorów własnych  $\mathbf{V}$ .

W każdej iteracji macierz  $\mathbf{W}$  jest aktualizowana:

$$\mathbf{W}^{(k+1)} = \mathbf{G}^T(\theta)\mathbf{W}^{(k)}\mathbf{G}(\theta) \quad (1)$$

gdzie macierz  $\mathbf{W}^{(0)} = \mathbf{A}$  a macierz  $\mathbf{G}$  jest nazywana macierzą rotacji i dana jako:

$$\begin{pmatrix} 1 & \dots & 0 & \dots & 0 & \dots & 0 \\ \vdots & \ddots & \vdots & & \vdots & & \vdots \\ 0 & \dots & c & \dots & s & \dots & 0 \\ \vdots & & \vdots & \ddots & \vdots & & \vdots \\ 0 & \dots & -s & \dots & c & \dots & 0 \\ \vdots & & \vdots & & \vdots & \ddots & \vdots \\ 0 & \dots & 0 & \dots & 0 & \dots & 1 \end{pmatrix} \begin{matrix} i \\ \\ j \\ \\ i \\ \\ j \end{matrix}$$

gdzie  $s = \sin(\theta)$ ,  $c = \cos(\theta)$  a kąt  $\theta(i, j)$  może być obliczony jako:

$$\tan 2\theta = \frac{2W_{ij}}{W_{jj} - W_{ii}} \quad (2)$$

Można udowodnić [1], że taka operacja zmniejsza zawartość elementów pozadiagonalnych. W rezultacie przy odpowiednio dużej liczbie iteracji  $K$  dla par liczb  $i, j$  możliwe jest uzyskanie niemal diagonalnej macierzy.

Macierz wektorów własnych to iloczyn kolejnych macierzy rotacji:

$$\mathbf{V}^{(K)} = \prod_{k=1}^K \mathbf{G}(\theta^{(k)}), \quad (3)$$

Mnożenie macierzy z (1) można też zapisać jako:

$$\begin{cases} W_{ii}^{(k+1)} = c(W_{ii}^{(k)} - sW_{ij}^{(k)}) - s(cW_{ij}^{(k)} - sW_{jj}^{(k)}) \\ W_{jj}^{(k+1)} = s(W_{ii}^{(k)} + cW_{ij}^{(k)}) + c(sW_{ij}^{(k)} + cW_{jj}^{(k)}) \\ W_{ij}^{(k+1)} = W_{ji}^{(k+1)} = 0 \\ W_{in}^{(k+1)} = W_{ni}^{(k+1)} = cW_{in}^{(k)} - sW_{jn}^{(k)} \quad n \neq i, j \\ W_{jn}^{(k+1)} = W_{nj}^{(k+1)} = sW_{in}^{(k)} + cW_{jn}^{(k)} \quad n \neq i, j \\ W_{ln}^{(k+1)} = W_{nl}^{(k+1)} = W_{ln}^{(k)} \quad n, l \neq i, j. \end{cases}$$

(4)

Równanie (3) można równoważnie zapisać jako:

$$\begin{cases} V_{ni}^{(k+1)} = cV_{ni}^{(k)} - sV_{nj}^{(k)} \\ V_{nj}^{(k+1)} = sV_{ni}^{(k)} + cV_{nj}^{(k)}, \end{cases} \quad (5)$$

Te zapisy będą przydatne podczas sprzętowej implementacji algorytmu.

### B. Algorytm Cordic

Algorytm CORDIC to prosty i lekki algorytm do obliczania funkcji trygonometrycznych, który może być zaimplementowany w trybie "rotation" i "vectoring". Istnieje kilka podobnych implementacji procesora. Poniższy opis dotyczy szczególnej implementacji użytej w tej pracy. W trybie "rotation" algorytm przyjmuje następujące wejścia:

$$\begin{cases} x_{in} = x \\ y_{in} = y \\ z_{in} = \alpha, \end{cases} \quad (6)$$

oraz zwraca następujące wyjścia:

$$\begin{cases} x_{out} = x \cos(\alpha) - y \sin(\alpha) \\ y_{out} = x \sin(\alpha) + y \cos(\alpha) \\ z_{out} = 0, \end{cases} \quad (7)$$

W trybie "vectoring" wejścia to:

$$\begin{cases} x_{in} = x \\ y_{in} = y \\ z_{in} = 0, \end{cases} \quad (8)$$

zaś wyjścia to :

$$\begin{cases} x_{out} = \sqrt{x^2 + y^2} \\ y_{out} = 0 \\ z_{out} = \arctan(\frac{y}{x}). \end{cases} \quad (9)$$

Szczegółowe uzasadnienia mogą być znalezione w [2].

W tej pracy CORDIC będzie używany do wyliczania funkcji trygonometrycznych.

## II. IMPLEMENTACJA

### A. Użycie CORDIC

Dzięki użyciu układu FPGA możliwe jest bardzo efektywna implementacja systemu do obliczania wartości i wektorów własnych. Algorytm CORDIC został wspomniany w poprzednim rozdziale ponieważ pozwala stworzyć logikę

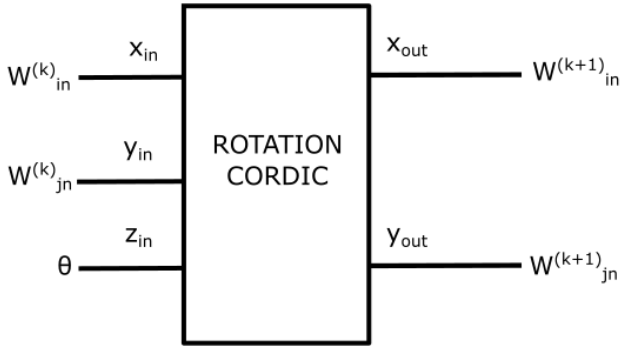


Fig. 1. Obliczanie elementów pozadiagonalnych  $W$  i elementów  $V$

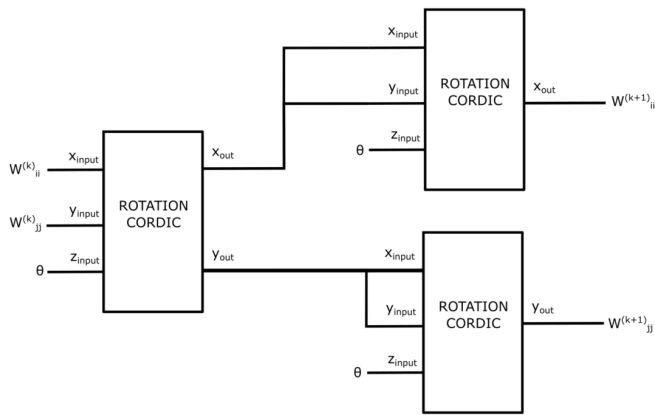


Fig. 2. Obliczanie elementów diagonalnych

konieczną do metody Jacobiego **bez użycia układów mnożących**.

Po porównaniu równań (4) i (5) z równaniem (7) okazuje się, że obliczenie nowych wartości elementów diagonalnych  $W$  może być zrealizowane za pomocą podwójnego użycia CORDICA, natomiast do obliczenia pozostałych elementów  $W$  i nowych elementów  $V$  wystarczy będzie pojedyncze użycie CORDICA. W tym przypadku CORDIC będzie pracował w trybie "rotation". Procesor do obliczania rotacji dla elementów diagonalnych znajduje się na Fig. 2 natomiast dla pozadiagonalnych na Fig. 1. Należy jednak zauważyć, że jest to jedynie rysunek poglądowy. W właściwym układzie używa się tylko jednego CORDICA w wersji "rotation" w trybie potokowym.

Co więcej, kąt  $\theta$  można obliczyć za pomocą CORDICA w trybie vectoring. Tutaj uzasadnieniem może być porównanie równań (2) i (9). Co ważne CORDIC pracuje dobrze dla kątów z przedziału  $[-\frac{\pi}{2}, \frac{\pi}{2}]$ . Aby uporać się z tym problemem do obliczeń używamy algorytmu pokazanego na schemacie fig. 3.

Można zatem krótko podsumować, że dla wybranych  $i, j$  moduł wykonuje następujące kroki:

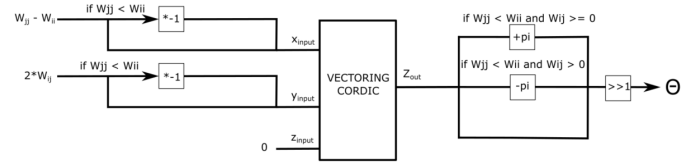


Fig. 3. Obliczanie kąta.

- Znalezienie  $\theta$  za pomocą CORDIC "vectoring".
- Pomnożenie macierzy za pomocą CORDIC "rotation"
- Aktualizacja elementów macierzy w pamięci RAM.

### B. Dobór iteracji

Ważnym elementem jest rzecz do tej pory nie omawiana – jak dobrać kolejne wartości  $i, j$ . Algorytm składa się z kilku kolejno następujących epok zwanych dalej sweepami. W każdej takiej epoce przeszukiwany jest tak zwany górny trójkąt indeksów macierzy czyli wszystkie możliwe dwuelementowe podzbiory.

Sweep składa się z rund. W każdej rundzie dobierane jest  $N/2$  par liczb  $i, j$  pokrywających cały zakres indeksów (na przykład dla  $N = 8$  :  $0 - 3, 4 - 5, 2 - 6, 1 - 7$ ). Kolejne rundy wewnątrz sweepa są realizowane za pomocą algorytmu każdy z każdym zaimplementowanego metodą kołową [3]. Sweep się kończy w momencie gdy każdy indeks zostanie sparowany z każdym

Dzięki takiej organizacji jest możliwe podczas każdej rundy równoległe policzenie  $\theta$  dla wszystkich par liczb z uwagi na to, że rotacja dla  $i, j$  zmienia tylko kolumny i rzędy macierzy  $W$  o indeksach  $i, j$ . W przypadku tej implementacji kąt zostanie obliczony przy pomocy potokowej architektury z Fig. 3. Wymaga to zatem zaimplementowania algorytmu CORDIC w wersji potokowej.

Po obliczeniu kątów kolejne rotacje wewnątrz rundy obliczane są szeregowo. Po wykonaniu wszystkich rotacji w danej rundzie następuje wygenerowanie nowych par i kolejna runda lub koniec sweepa.

Istnieją implementacje, które wewnątrz jednej rundy potrafią równoległe liczyć rotację dla wszystkich par liczb  $i, j$  wygenerowanych na potrzeby tejże rundy. Takie podejście wymaga jednak użycia  $N/2$  modułów "Rotation" CORDIC i "Vectoring" CORDIC a także znacznie zwiększają skomplikowanie handshake'ów. Zaproponowana architektura jest nieco wolniejsza ale pozwala ograniczyć do minimum zużycie zasobów sprzętowych.

### C. Architektura

Architektura układu jest pokazana na fig. 4. Poniżej opisany jest sposób działania poszczególnych składowych układu:

- **Main Controller** - Zarządza kolejnymi fazami algorytmu (sweeepy, rundy, liczby  $i, j$ ). Komunikuje się z blokiem RAM i mikrokontrolerem. W każdej rundzie najpierw

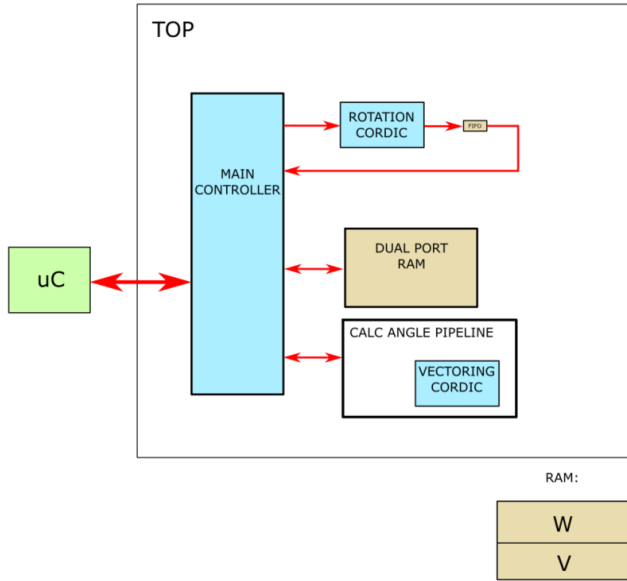


Fig. 4. Architectura

zleca obliczenie kątów a później obsługuje obliczenie rotacji. Aby obliczyć rotację podaje na CORDICA kolejne elementy macierzy z pamięci. Następnie elementy diagonalne są wrzucane na drugą operację do CORDICA i elementy są kolejno czytane z FIFO i zapisywane do pamięci.

- **Calc Angle Pipeline** - Moduł zawierający vectoring cordic i obliczający kąt dla danych indeksów.
- **Rotation Cordic** - Instancja modułu rotation cordic służąca do rotacji macierzy  $W$ .
- **RAM** - Pamięć przechowująca obecny stan macierzy  $W$  i  $V$ . Pamięć jest dwuportowa. Podczas czytania elementów wejściowych do CORDICA oba porty wykonują operację odczytu a podczas aktualizacji macierzy oba porty wykonują operację zapisu.

Architektura używa formatu liczb  $Q(1.4.15)$  natomiast dane wejściowe są w formacie  $Q(1.0.15)$ . Maksymalne elementy macierzy  $W$  mogą osiągnąć wartość  $N$ , które w tym wypadku zostało przyjęte jako 8. Oznacza to, że diagonalizowana macierz będzie miała rozmiar  $8 \times 8$ . Wszystkie transakcje pomiędzy modułami odbywają się za pomocą AXI4-S.

Macierz  $W$  jest reprezentowana jako górny trójkąt (fig. 5). Ponieważ  $W_{nl} = W_{ln}$ , gdzie  $n < l$  można przekazywać tylko ten pierwszy element. Podczas transakcji po AXIS-4 przekazywane są szeregowo kolejne wektory horyzontalne macierzy. Podobnie jest z reprezentacją w pamięci.

Macierz  $V$  jest reprezentowana w pełni ze względu na brak symetrii. Podobnie jak w przypadku  $W$ , jest przechowywana i przekazywana jako kolejne wektory poziome.

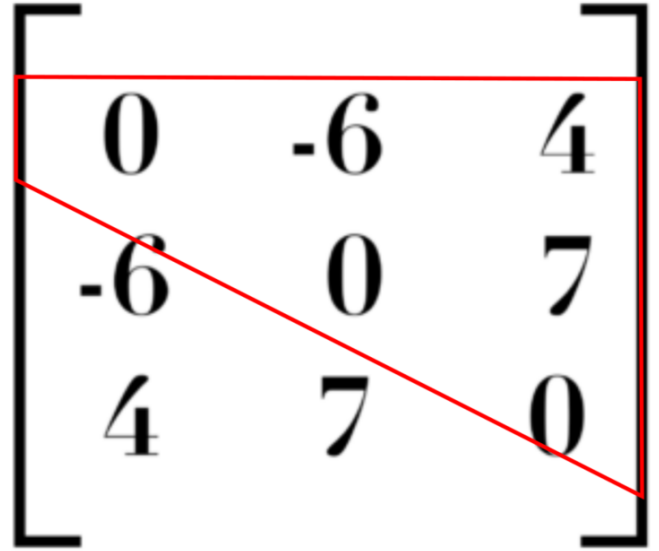


Fig. 5. Reprezentacja symetrycznej macierzy.

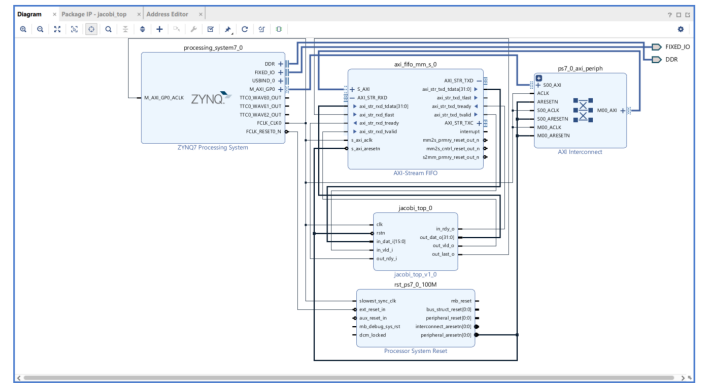


Fig. 6. System

#### D. Integracja

System został zaimplementowany na platformie Zynq. Został uruchomiony jako peryferium mikrokontrolera ARM. Moduł jest skomunikowany z procesorem za pomocą IP-Core od firmy Xilinx "AXI Stream FIFO". Pełny system jest przedstawiony na rysunku fig. 6. Moduł został uruchomiony na częstotliwości zegara 100MHz.

### III. WERYFIKACJA

#### A. Model Referencyjny

Model referencyjny algorytmu został stworzony w języku python za pomocą biblioteki fpx-math. Zawiera behawioralny opis algorytmu w fixed point. Model będzie używany do generowania wektorów testowych do weryfikacji układu. Idea projektu jest to aby w Pythonie wygenerować wejścia i wyjścia algorytmu. Następnie podczas testowania wyjścia układu muszą dokładnie pokrywać się z wyjściami modelu.

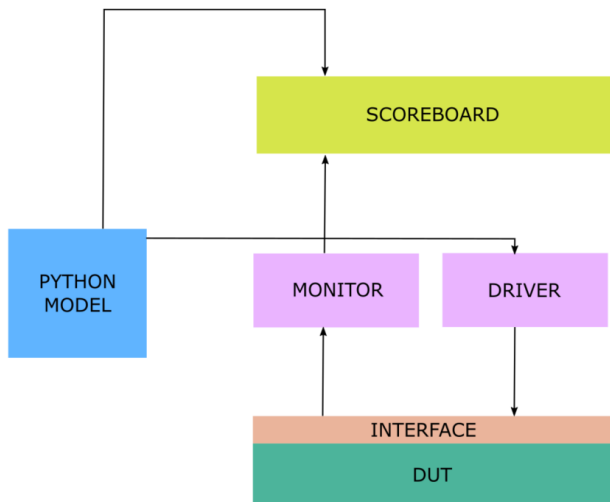


Fig. 7. Diagram UVM dla testbenchu.

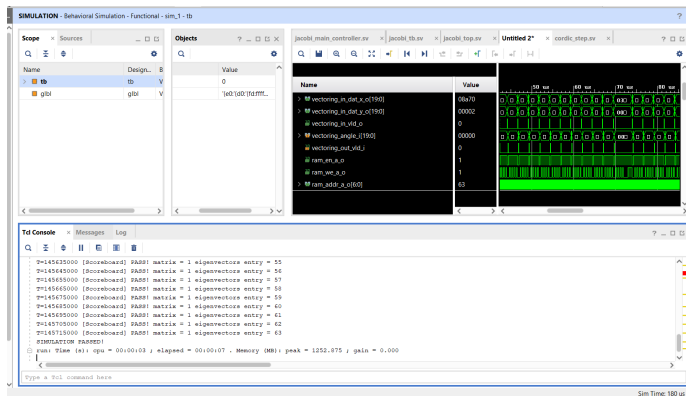


Fig. 8. Symulacja w Vivado.

### B. Testbench

Testbench dla projektu został napisany w języku SystemVerilog. Weryfikacja obejmuje zarówno implementację modułów CORDIC jak i algorytm Jacobiego jako całość. Testbench pobiera macierze z przygotowanego w Pythonie pliku, ładuje je do DUT i czyta wyjścia. Wyjścia są porównywane z referencyjnymi wynikami z Pythona. Test jest napisany obiektowo zgodnie z diagramem przedstawionym na rysunku fig. 7.

Udało się przesymulować IP zgodnie z założeniami, tj. model referencyjne całkowicie pokrył się z rtl. Wynik symulacji jest przedstawiony na fig. 8.

### C. Uruchomienie Układu

Układ został zaimplementowany zgodnie z fig. 6. Za pomocą softwaru wysyłana jest na układ Jacobiego macierz wejściowa do diagonalizacji a następnie odbierane są dane wyjściowe. Komunikacja odbywa się za pomocą AXI-LITE. Screenshot z działania programu znajduje się na rysunku 9

Ten wynik może być porównany z funkcją do obliczania wartości własnych w bibliotece numpy (fig. 10). Podczas porównywania należy zwrócić uwagę na inną kolejność

```
Let's calculate eigenvalues
Input matrix:
[0.7379 -0.1585 0.3854 0.4633 0.5201 0.0140 0.6165 0.2286]
[-0.1585 -0.2907 0.5947 0.2359 0.1153 -0.2915 0.4894 -0.3591]
[0.3854 0.5947 0.7668 -0.0934 0.1857 0.4251 0.8674 -0.1826]
[0.4633 0.2359 -0.0934 0.0214 -0.1231 -0.0447 0.4969 0.1309]
[0.5201 0.1153 0.1857 -0.1231 -0.6306 0.1897 -0.2693 0.6904]
[0.0140 -0.2915 0.4251 -0.0447 0.1897 -0.6011 0.1729 0.2832]
[0.6165 0.4894 0.8674 0.4969 -0.2693 0.1729 -0.7814 0.4625]
[0.2286 -0.3591 -0.1826 0.1309 0.6904 0.2832 0.4625 0.9559]
Eigenvalues matrix:
[-1.8099 0.0000 0.0000 -0.0000 0.0000 -0.0000 0.0000 -0.0000]
[0.0000 -1.1254 -0.0000 -0.0000 0.0000 0.0000 -0.0000 -0.0000]
[0.0000 -0.0000 -0.7579 0.0000 0.0000 -0.0000 0.0000 -0.0000]
[-0.0000 -0.0000 0.0000 -0.3600 0.0000 -0.0000 -0.0000 0.0000]
[0.0000 0.0000 0.0000 0.0000 0.1752 -0.0000 0.0000 -0.0000]
[-0.0000 0.0000 -0.0000 -0.0000 -0.0000 0.5867 0.0000 0.0000]
[0.0000 -0.0000 0.0000 -0.0000 0.0000 0.0000 1.4484 -0.0000]
[-0.0000 -0.0000 -0.0000 0.0000 -0.0000 0.0000 -0.0000 2.2022]
Eigenvectors matrix:
[0.2300 0.1569 -0.1461 0.0964 0.4872 0.5765 -0.0993 0.5577]
[0.2994 0.4613 0.1318 0.6066 -0.3970 -0.0502 0.3617 0.1399]
[0.1697 -0.4526 -0.0235 -0.1217 0.1181 -0.4471 0.5134 0.5214]
[0.0572 -0.3185 0.4278 -0.2684 -0.5871 0.4921 -0.0092 0.2262]
[-0.4830 -0.1644 0.5977 0.4646 0.2407 -0.1263 -0.2196 0.2034]
[0.1297 0.5738 0.4959 -0.5378 0.1445 -0.2659 -0.0554 0.1470]
[-0.7132 0.3094 -0.3547 -0.1487 -0.2736 0.0042 0.1217 0.3964]
[0.2548 -0.0494 -0.2146 0.0827 -0.3025 -0.3664 -0.7267 0.3534]
```

Fig. 9. Wynik działania programu.

```
Wartości własne:
[ 2.02407345  1.45048993 -1.81231179  0.58723672  0.175933  -1.12699334
 -0.36096326 -0.75930309]
Wektory własne:
[[ 0.55781286 -0.0989291  0.23002323  0.57669614  0.48811064  0.15718433
  0.09607513 -0.14621691]
 [ 0.13978648  0.36204537  0.29984492 -0.05035257 -0.39694476  0.46191321
  0.60715116  0.13182962]
 [ 0.5223792  0.51397929  0.17000323 -0.44744528  0.11818542 -0.45232418
 -0.12129656 -0.02364457]
 [ 0.22681653 -0.00959394  0.05777946  0.49302631 -0.58694962 -0.31872807
 -0.26850782  0.42878903]
 [ 0.20355252 -0.22020679 -0.48371543 -0.1269877  0.24121417 -0.16446607
 0.46574293  0.59817975]
 [ 0.14712399 -0.05589779  0.13003407 -0.26647457  0.1437567  0.57472652
 -0.53800388  0.49687794]
 [ 0.39643053  0.12127923 -0.71348409  0.00458517 -0.27430891  0.30971848
 -0.14882973 -0.35458765]
 [ 0.35318907 -0.72701113  0.25493871 -0.36667202 -0.30267074 -0.04964301
 0.08253971 -0.21536799]]
```

Fig. 10. Wyniki referencyjne.

wartości własnych a co za tym idzie wektorów własnych w kolumnach. Można jednak zauważyć, że otrzymane wartości są bardzo podobne.

Na koniec tego raportu warto krótko podsumować działanie układu. Diagonalizacja macierzy zajmuje 70us. Jest to nieco dłużej niż w wykonanie funkcji np.linalg.ein() na komputerze osobistym z procesorem intel i5 2.5GHz 2 rdzenie. Tutaj czas to około 40us. Należy wziąć jednak pod uwagę 25-krotną różnicę taktowania (a biorąc pod uwagę oba rdzenie 50-krotną).

### REFERENCES

- [1] J. Lambers, *Lecture 7 notes*. [Online]. Available: <https://web.stanford.edu/class/cme335/lecture7.pdf>.
- [2] X. Jin, *Implementation of the music algorithm in cash*.
- [3] *Round robin tournament*. [Online]. Available: [https://en.wikipedia.org/wiki/Round-robin\\_tournament](https://en.wikipedia.org/wiki/Round-robin_tournament).